

このような均熱炉内での凝固のおくれに起因する鋼塊品質と計算にもとづく均熱炉抽出時の鋼塊均熱度(関係図表省略)等を総合検討した結果、かかる作業条件にある角型鋼塊(64×64cm)の最適トラックタイムは70~80分がのぞましいと考えられ、R. J. Sargent が提唱した式(均熱炉装入前 20 分以上で型抜した鋼塊を対象とする)にもとづいて計算すると 72 分となり、N. H. Bacon が提唱した式で計算した 89 分は若干おそい感じである。

IV. 結 言

1) 鋼塊鋼片の切断調査の結果、軽度の凝固のおくれは単に頭部偏析を増加させるのみであるが、過度の凝固のおくれは鋼塊内質全般の不均一性を増大さす傾向がある。

2) 計算にもとづいて、均熱炉装入直前に型抜きしたトラックタイム 30~35 分の鋼塊の均熱炉内での凝固のおくれは 30~35 分程度であり、50~55 分のトラックタイムの鋼塊は 10~15 分凝固がおくれる。また均熱炉内での加熱速度の影響も無視できず、その影響の程度はトラックタイムが早い程大きい。

3) 均熱炉装入直前、型抜きする場合、リムド角型鋼塊(4 t 800)のトラックタイムは鋼塊品質の点を加味して 70~80 分が妥当である。

(27) 鋼塊内収縮管の熱間圧延による圧着の研究

A Study on Reduction and Solid Phase Welding of Ingot Pipes by Hot Rolling
T. Oda, et alii.

八幡製鉄所技術研究所

工博 豊島清三・理 坂本九州男・○小田悌五

I. 緒 言

鋼塊の圧延過程におけるパイプの挙動を明らかにし、併せてパイプによる成品の障害を圧延により減少させる方法の検討を目的としてこの研究をおこなつた。ここでは鋼塊内部の収縮管または管状気泡のような空洞部分が圧延加工で変形されて圧し潰される状況と鋼塊の圧延による変形との関係を求めた。また圧し潰された面がその後の圧延で接着されるとき、この接着率に影響する圧延条件について総て模型試験片と試験用圧延機を用いて実験した。鋼塊の変形と収縮管の圧潰との関係を求める実験からえられた結果については分塊工場の 4, 5 t 鋼塊の分塊圧延試験の二、三の結果と比較して実験結果の実

用性を検討した。

収縮管の実験に供した模型試験片は底部 50 mm × 50 mm, 頂部 43 mm × 43 mm, 長さ 190 mm の金型鋸込みの鋼塊に直径 5~30 mm の錐孔を穿つたもの、および厚さ 35 mm, 巾 65 mm, 長さ 100 mm の鋼塊に直径 10~18 mm の錐孔を穿つたもので、錐孔の開口部は鋼塊をねじ止めした。圧し潰しの面の固相接着の実験に供した試験片は厚さ 5, 10, 15 mm の鋼板の片面を研磨し、研磨面を向い合せて 2 枚重ねとし四周を電気溶接した。その面積は 80 mm × 180 mm とした。

II. 実験結果

1. 圧延による収縮管の圧潰

それぞれことなつた直径の収縮管を与へた角型鋼塊について、圧延温度を 1150°C として総圧減率がそれぞれ 15, 30, 45, 60% に到達した時圧延を止め、試片を切断してその断面寸法と収縮管の寸法とを測定した。鋼塊の圧減寸法 Δh と収縮管の圧潰寸法 $\Delta \phi$ との関係は Fig. 1 に示すように直線になる。そしてこの $\Delta \phi$ の値が始

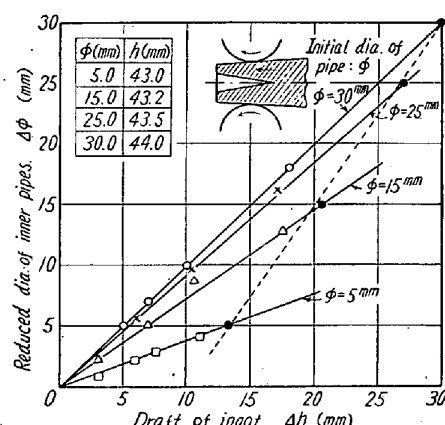


Fig. 1. Relation between draft of small ingots and reduced dia. of inner pipes.

めの収縮管径 ϕ に等しくなる点すなわち収縮管圧潰が完了した時の点を連ねると同図点線で示すようこれも Δh に対して直線関係があることが分る。巾広鋼塊の場合では $\Delta \phi$ の値が角型鋼塊のものよりわずかに大きいという相違があるのみで Δh との関連性は角型鋼塊と同様であった。なほ収縮管の巾方向の径は、圧下量の小さい間は初径よりも拡つてゆくが、縦径がほど 50% 圧し潰されたころから急激に両端から圧着され始める。

Fig. 1 でも見られるように収縮管の直径が大きいと当然これを圧着させるには鋼塊に大きな圧減率を与へねばならぬ。同図の $\Delta \phi = \phi$ の各点から横軸へ垂線を下し横軸とまじわる時の Δh の値を $\Delta h/h$ で示し、一方収縮管の太さ ϕ を鋼塊断面寸法 h と収縮管の径 ϕ との比 ϕ/h

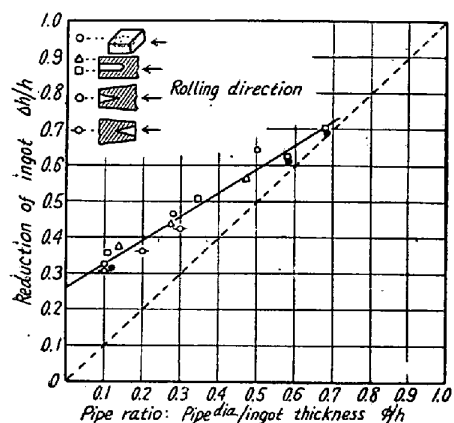


Fig. 2. Relation between inner pipe size and required reduction of ingots for complete constriction of the pipes.

で示すと両者の関係は Fig. 2 のようになる。これにより収縮管の圧潰が完了する時の鋼塊の圧減率 $4h/h$ は、鋼塊の厚さに対する収縮管の直径の比 ϕ/h に比例することが分る。この図より、あらゆる太さの収縮管の圧潰が完了する時の鋼塊の総圧減率を求める式を示すと

となる。圧延温度 1150°C , 1 パス圧下率 15%, ロール回転毎分 20 回の場合, $A=0.7$, $C=0.25$ という値となつたが, A は圧延条件で多少の変化がある。

2. 収縮管の固相接着

研磨面を含せて四周を熔接した試片によつて種々な圧延条件の下で熱延し、C方向断面を検鏡しその接着、未接着の長さより接着率を求めた。残りの試料はさらに80%冷延して同様の検鏡をした。熱延条件中温度を900～1200°Cの間に変へたが1100°C以上の場合70%以上の接着をえるが、1000°C以下では急に接着が不良になる。同一温度の場合でも材料が厚いほど接着が困難になるが、1100°C以上の場合接着率と材料厚さとの関係は材料が厚くなるにしたがつて接着率が線状に下り、1000°C以下では抛物線状に降る。ロール回転度は低い時接着がよい。しかしこの差は総圧減率が増せば小さくなる。同一圧減率に到るまでの1パス圧下率の大小の影響は無視できる程度であつた。材質の影響では低炭素のものが接着容易である。例へば炭素含有量0.07%のSPK材は0.18のSS材よりも圧延温度1000°Cで11%，1200°Cで4%だけ接着率が高く、かつまたその後の冷延によつてSPKでは1～5%の接着を増したが、SSでは反対に剥離を起して9～3%の接着を減じた。

接着面の接着強度と検鏡による接着率との関係を引張試験で調べた結果は Fig. 3 のようになり、接着率が92%位になるとその部の強度は母材ほど等しくなり、接

強着度は接着面積比に比例することが示されたものと考え得る。

III. 異 言

以上を総括するに鋼塊内収縮管が圧延によつて圧し潰される量は鋼塊の圧減量に対し一定の比例関係にあり、この関係を示す直線の傾斜は収縮管の直径の太さによつてきまり、その外に圧延条件がわ

すかながら影響をおよぼす。それぞれことなつた直径の収縮管の圧し潰しが完了される時に要する鋼塊の総圧減量を Δh , 鋼塊の初めの厚さを h , 収縮管の直径を \varnothing すると、その時の材料の総圧減率は

$$\Delta h/h = (\phi/h) A + C$$

で示される.

圧し潰された収縮管の接面の固相接着強さを母材と同一にするためには清浄な接面の場合で圧延温度 1100°C 以上、総圧減率は収縮管の圧潰が完了した後なお 60% 前後を要する、この程度の圧延加工を施したもののはほど接面の 90% 以上が完全接着をしている。

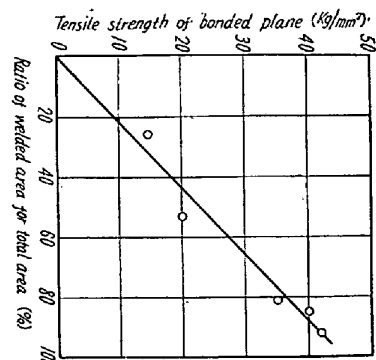


Fig. 3. Relation between bonded ratio and tensile strength on the bonded plane.

(28) リムド钢管の内面疵におよぼす
钢管中 S の影響

(リムド鋼管材材質と鋼管の内面疵との関係-Ⅲ)

Effect of the S in Steel on Internal

Defects of Rimmed Steel Tubes

(Relation between the quality of rimmed steel
for tubes and interal defects thereof—II)

N, Eguchi et alii.

八幡製鉄所、技術研究所

工 大竹 正・工 村山周治・○江口直記

I. 緒 言

第1, 2報¹⁾で鋼管の内面疵の直接の原因是珪酸塩介在物および硫化物介在物の群集で、これら介在物の鋼塊内における分布特性から鋼塊頭部および底部に相当する管材の内面疵の発生率が高いものがあることを示した。これら介在物の多少、分布型式は多くの因子に影響されるが、第2報で一部のべたごとく熔鋼成分の影響は大でC, Mnが高い程珪酸塩介在物は減少しましたCが低い程